

I-78 Y型ラーメンの隅角部の応力解析

名古屋工業大学 正員 岡林 稔
 同 正員 長谷部 宣男
 同 大学院○学生員 横田 宏昌

まえがき 与えられた境界条件において、2次元弾性問題を解こうとするとき、その領域を単位円に等角写像する関数が、有理関数である場合には、積分方程式を解くことなしに用いた解が得られる（文献1）。本論文では、図1に示すようなY型ラーメン領域を単位円に写像する有理型近似写像関数を、分数式の形に求め、応力解析を行なった。

写像関数 図1に示すようなZ平面上の中1.0のY型ラーメン領域を単位円に等角写像する関数はShwang-christoffell変換を用いて、

$$Z = \frac{3}{2^{\frac{1}{3}}\pi} \int \frac{(1+\zeta^3)^{\frac{1}{3}}}{1-\zeta^3} d\zeta \quad (1)$$

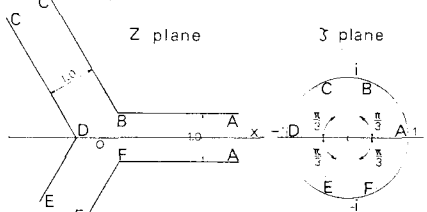


Figure 1

と表わされ、X軸に対して対称である。係数は中が1.0になるように定め、対応する点は図1に示した。式(1)の $1-\zeta^3=0$ の近傍で、帯が無限に伸びる対数的特異点のため、その附近での収束は極めて遅い。従って、式(1)を対数的特異点を表わす第一項と、余り項とに分離、すなわち

$$Z = \frac{3}{2^{\frac{1}{3}}\pi} \int \frac{2^{\frac{1}{3}}}{1-\zeta^3} d\zeta + \frac{3}{2^{\frac{1}{3}}\pi} \int \left\{ \frac{(1+\zeta^3)^{\frac{1}{3}}}{1-\zeta^3} - \frac{2^{\frac{1}{3}}}{1-\zeta^3} \right\} d\zeta \quad (2)$$

のように変形し、第一項、余り項別々に、分数式の形で近似写像関数を作る。第一項を中心にして、近似写像関数の作り方を説明する。第一項をべき級数に展開すると

$$\int \frac{1}{1-\zeta^3} d\zeta = \zeta + \frac{1}{4}\zeta^4 + \frac{1}{7}\zeta^7 + \dots = \sum_{m=0}^{\infty} a_m \zeta^{3m+1} \quad (3)$$

これに対して、次のような分数式を近似させる。

$$\sum_{k=1}^{12} \frac{B_k \zeta}{(1-d_k \zeta)^3} = \sum_{k=1}^{12} (B_k + d_k \beta_k \zeta^4 + d_k^2 \beta_k \zeta^7 + \dots) \quad (4)$$

ここに、分数式は12回だった。ここで式(3)と式(4)を近似的に等しくなるように、24回の係数を比較して各々12回の未定係数 d_k , B_k を定めた。比較した係数は η が1, 2, 3, 4, 1×7, 2×7, 3×7, 4×7, 1×7², 2×7², 3×7², 4×7², 1×7³, ..., 4×7³, 1×7⁴, ..., 4×7⁴, 1×7⁵, ..., 4×7⁵の24回をとった。そして、24回の連立式を電子計算機で繰り返し計算させ、 d_k と β_k を求めた。この値を表1の上段に示す。式(2)の余り項に対する近似分数式も全く同様で、この場合収束の速いこと、符号を考慮して、 $\sum_{k=1}^{12} \frac{-B_k \zeta}{(1+d_k \zeta)^3}$ と選び、同様に、 η が1, 2, 3, 4, 1×7, 2×7, 3×7, 4×7の項ごとにべき級数の項が一致するように作った。この値を表1の下段に示す。かくして式(1)に対する有理近似写像関数は、次のように定まる。すなわち

α	R	θ	s
0.39995687281	0.00002153152	0.399915322236	0.00003690074
0.399927014821	0.00010101286	0.399822024821	0.00026370651
0.39786791744	0.00070734864	0.399433457307	0.0184036882
0.39578547120	0.02492499245	0.39694903306	0.126422469
0.39200973064	0.13878573738	0.3928033796	0.37985303464
0.384550392239	0.132854144431	0.38564882	0.354534665152
0.32223752743	0.15628981	0.73921923660	0.0217048337
0.41786132710	0.1793589280	0.102891556339	0.08850829277

Table 1

$$Z = \frac{3}{2^{\frac{1}{3}}\pi} \left\{ \left(1 - 2^{\frac{1}{3}} \sum_{k=1}^{12} B_k + \sum_{k=1}^4 B_k \right) + 2^{\frac{1}{3}} \sum_{k=1}^{12} \frac{B_k t}{(1-t)^3} + \sum_{k=1}^4 \frac{B_k t}{(1+t)^3} \right\} \quad (5)$$

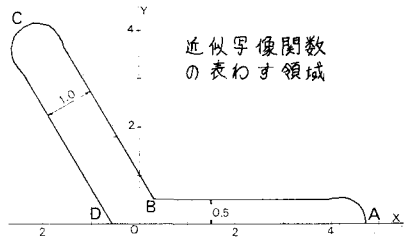
この近似写像関数の表わす領域を図2に示した。隅角部D, Fは本物は角点であるが、近似写像関数のため丸味が入っており、計算すると曲率半径は、-0.000805F帯の中を1.0としている（極めて小さく、近似写像関数として、十分精度がよりと考えられる）。

・境界条件及び応力の計算 応力の解析の方
法はMuskhelishviliの方法を用いた。境界条件としては、A, C, Eの三方向に、大きさ1.0の軸方向引張と、C, E点において、大きさ1.0のモーメントを与えた場合について、応力を解析した。軸方向引張については、図3に、DA間の δ_y 及びCD間の δ_y の値を示し、図4にDA間 δ_x の値を示した。これらを見ると、 δ_y はD点において、大きな値を示し、A方向に急激に減少し、0に近づいていく。又 δ_y もやはり、D点において、 δ_y と同じ値をとり、C方向に急激に減少し、1.0に近づいていく。又 δ_x の

値はD点においては、もちろん、0を示し、その極く近傍において、急激に増加して、応力集中を生じ、それから急に減少して、1.0より小さな値になる。さらにまた漸増し、1.0の値に近づいて行く。又が0なる附近においては、 δ_x と δ_y は同じ値に近づいていく。次に曲げモーメントについては、図5にDA間の δ_y 及び、CD間の δ_y の値を示し、図6にはDA間の δ_x の値を示した。これらを見ると、 δ_y はやはりD点においては、かなりの応力集中を生じ、D点より離れると、急に減少し、X=-0.2附近で、引張から圧縮に変わっている。そして、次第に圧縮状態から0に近づいていく。 δ_y もD点において、 δ_y と同じ値をとり、急激に減少し、C方向に向かって、6.0の値に近づいて行き、材料力学により、簡単に求められる値に近づいていく。 δ_x の値はD点附近で急激に増加し、応力集中を生じていい。これよりA点に向かって0に漸近している。

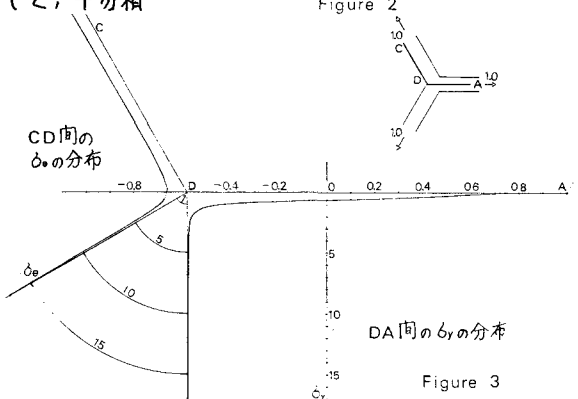
・参考文献

- <1> Muskhelishvili : 「Some Basic Problems of the Mathematical Theory of Elasticity」
- <2> 岡林、長谷部：「ラーメン隅角部の角度と隅角部附近の応力について」オ24回年次学術講演会



近似写像関数の表わす領域

Figure 2



DA間の δ_y の分布

軸方向引張によるDA間の δ_y の分布

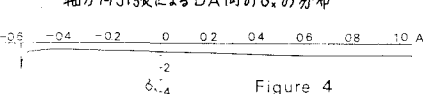
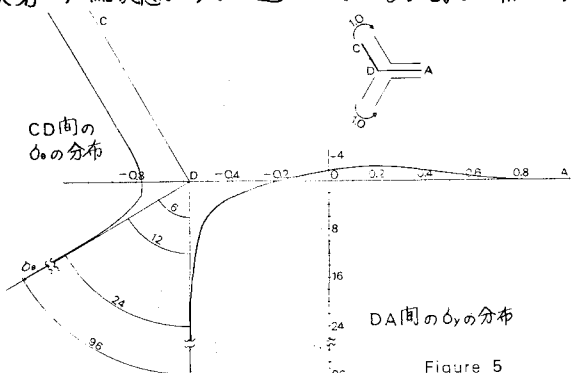
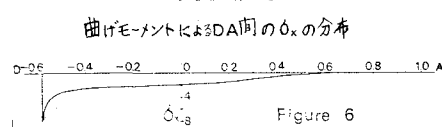


Figure 4



DA間の δ_y の分布

Figure 5



曲げモーメントによるDA間の δ_x の分布

Figure 6